LXXVIII

1984

УДК 612.827.+612.826.8

ФИЗИОЛОГИЯ

О. П. Косоян, А. О. Бантикян

Электрофизиологический анализ нейронов собственных ядер моста, проецирующихся в мозжечок

(Представлено академиком АН Армянской ССР В. В. Фанарджяном 8/VI 1983)

Согласно современным представлениям предмозжечковые образования являются важными интегративными центрами, принимающими непосредственное участие в программировании движений и реализации моторной памяти (1.2). К таким образованиям относятся собственные ядра варолневого моста. Если к настоящему времени достаточно подробно изучены электрофизиологические особенности кортико-понтинной передачи (3.4), то второе звено кортико-понто-мозжечковой системы нуждается в дальнейшем изучении.

Имеется ряд морфологических исследований, посвященных проекции собственных ядер моста на кору мозжечка (5^{-7}) ; наряду с этим остается спорным вопрос о проецировании нейронов моста к центральным ядрам мозжечка (8-10). Большой интерес представляет также исследование обратных связей из ядер мозжечка к нейронам моста для уточнения роли собственных ядер моста в осуществлении циркуляции импульсов в пределах стволо-мозжечкового круга (2.11). В настоящей работе проведен анализ особенностей активации нейронов медиального собственного ядра моста (Pontin gray medialis, PGM) на раздражение центральных ядер мозжечка, его средней и верхней ножек.

Опыты выполняли на 22 взрослых кошках, наркотизированных нембуталом (40-50 мг/кг, внутрибрюшинно). Использовали вентральный подход к структурам варолиев моста (3). Раздражающие вольфрамовые биполярные электроды вводили стереотаксически в контралатеральные центральные ядра мозжечка, в его верхнюю и среднюю ножки. Внутриклеточное отведение активности нейронов PGM осуществляли с помощью стеклянных микроэлектродов, заполненных 3 М раствором хлористого калия или 2 М раствором цитрата калия. Метки кончиков отводящих и раздражающих электродов производили электролитически и их местоположение определяли на гистологических срезах, окрашенных метиленовой синью.

Была зарегистрирована активность 74 нейронов PGM. Все они идентифицировались как эфферентные понто-мозжечковые непроны на основании их антидромной активации. Антидромные потенциалы действия (ПД) указанных нейронов характеризовались коротким скрытым периодом выявления, который не изменялся при разной силе и частоте раздражения; коротким рефрактерным пернодом; отсут-

ствием медленного препотенциала предшествующего ПД и способностью воспроизводить полные ПД при высокой частоте раздражения до 500 Гц (рис. $1,A, \mathcal{B}$).

Из всех зарегистрированных нейронов 37 отвечали антидромным

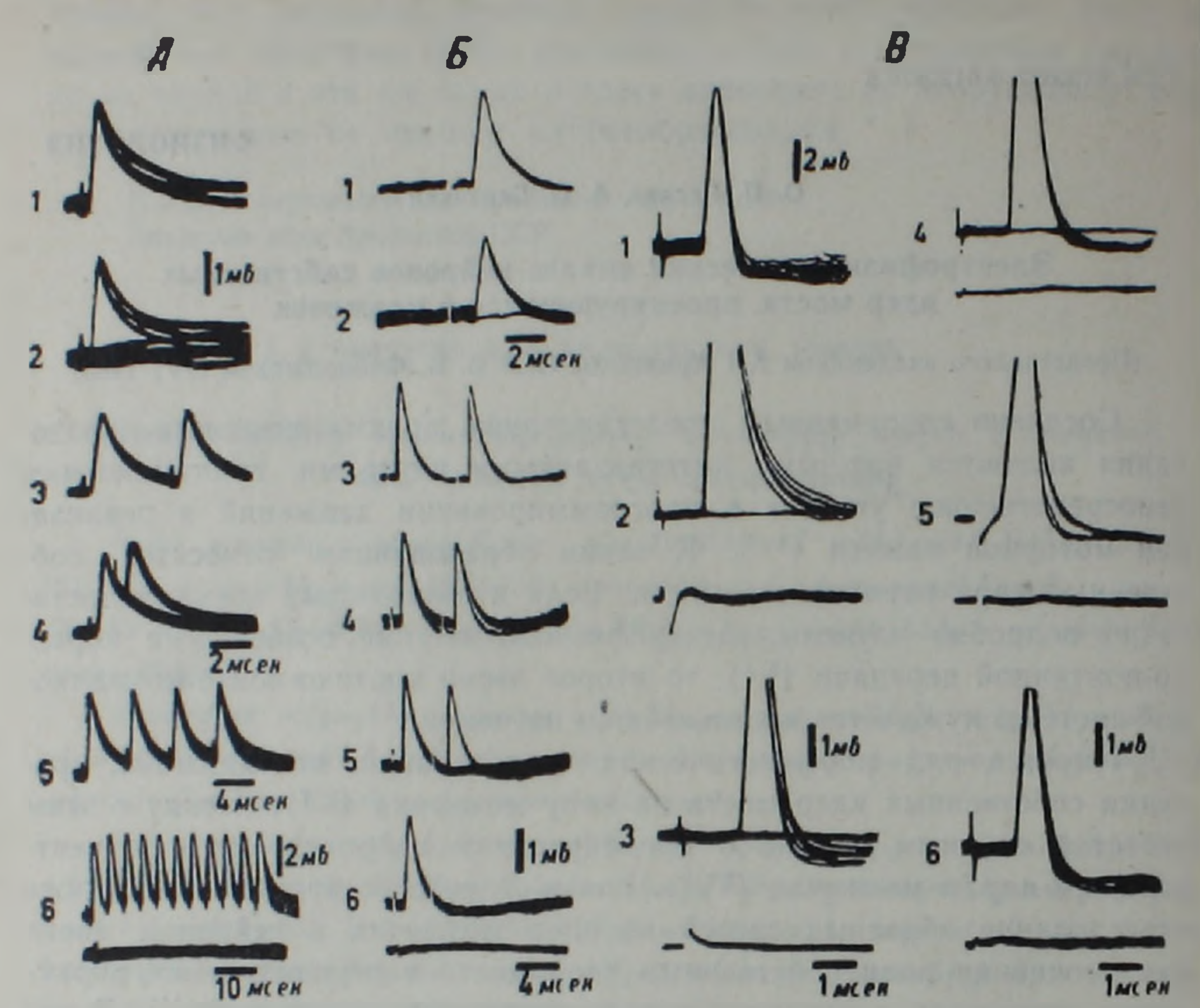


Рис. 1. Антидромная активация понто-мозжечковых нейронов, вызванная раздражением структур мозжечка. А, Б и В—три разных нейрона. А—стимуляция средней ножки мозжечка одиночными надпороговыми (1), строго пороговыми (2) импульсами, двойными импульсами с разными интервалами (3, 4) и частотой импульсов в 250 (5) и 300 Гц (6). Нижняя запись на А, 6 потенциал поля после выхода микроэлектрода из клетки. Б—стимуляция зубчатого ядра мозжечка одиночными надпороговыми (1), строго пороговыми импульсами, двойными импульсами с разными интервалами (3—6). Нижняя запись на Б,6—потенциал поля после выхода микроэлектрода из клетки. В—стимуляция одиночными импульсами средней (1, 2), верхней (3) ножек мозжечка, его фастигиального (4), промежуточного (5) и зубчатого (6) ядер. Нижняя запись на В, 2—6—потенциал поля после выхода микроэлектрода из клетки.

Здесь и на рис. З потенциалы зарегистрированы при наложении 5—40 пробегов луча с частотой 1—5 Гц, использовался усилитель постоянного тока

ПД на раздражение средней ножки мозжечка. Скрытый период ответов исчислялся 0,15—1,6 мс; на гистограмме они распределялись бимодально с пиками в пределах 0,2—0,5 и 0,7—0.8 мс (рис. 2,A). Намного меньшее количество нейронов (17 клеток) реагировало на раздражение верхней ножки мозжечка (рис. 2,B), очевидно, указывая на то, что этот путь в меньшей степени используется для проведения импульсов от PGM в мозжечок. Скрытые периоды зарегистрированных ответов составляли 0,3—1,0 мс. При испытании раздражения центральных ядер мозжечка наибольшее количество нейронов PGM реагировало на стимуляцию зубчатого ядра мозжечка (41 клетка).

Скрытые периоды ответов колебались в пределах 0,2—1,4 мс, пик частоты распределения приходился на 0,3—0,5 мс (рис. 2,В). На раздражение промежуточного ядра мозжечка антидромные ПД со скрытым периодом 0,2—1,0 мс были зарегистрированы у 27 нейронов;

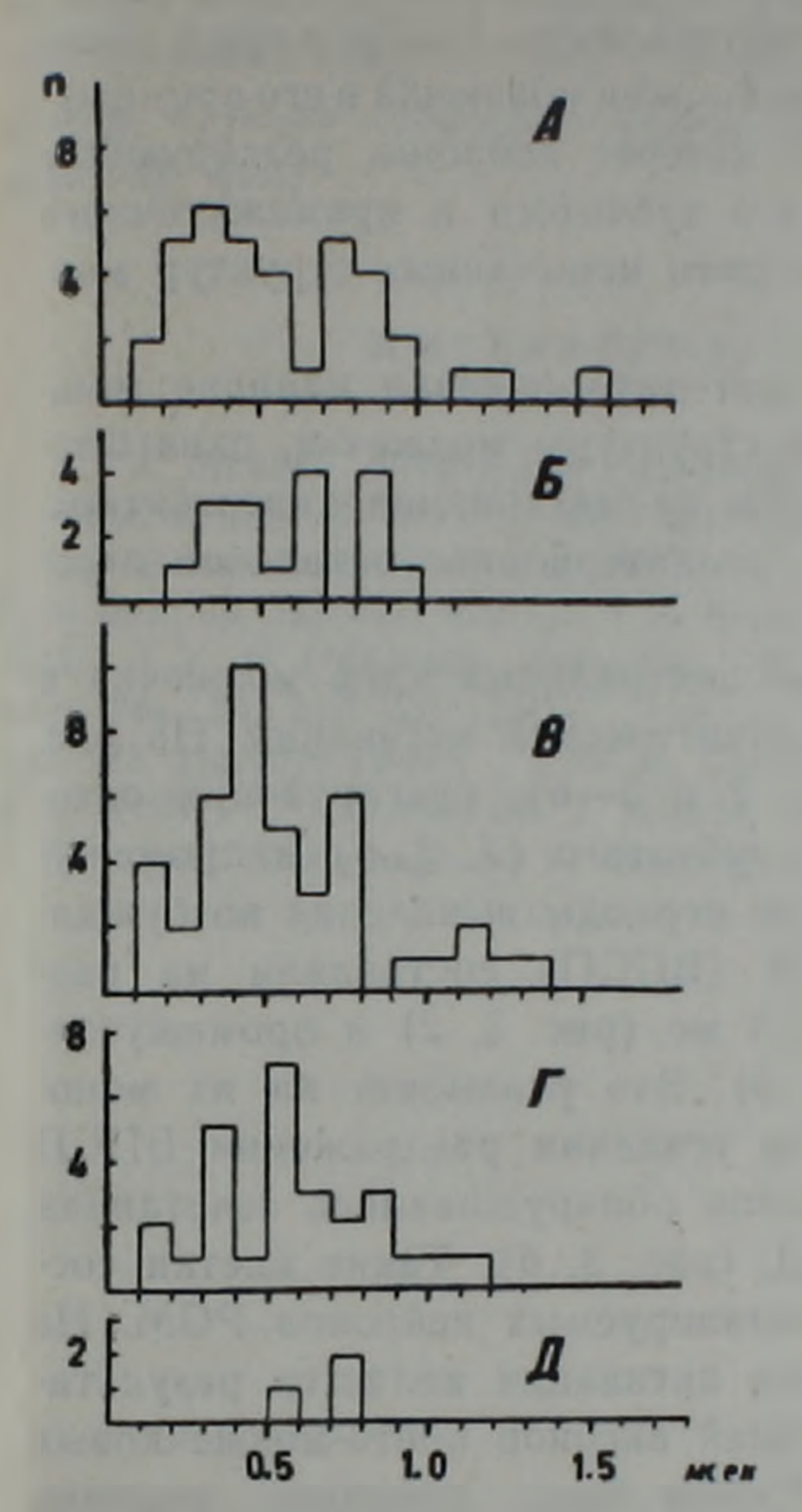


Рис. 2. Гистограммы распределения скрытых периодов антидромных потенциалов действия нейронов медиального собственного ядра моста, вызванных раздражением средней (A), верхней (B) ножек мозжечка, его зубчатого (B), промежуточного (Γ) и фастигиального (\mathcal{A}) ядер

По оси абсцисс время в мс; по оси ординат—количество нейронов,

n,

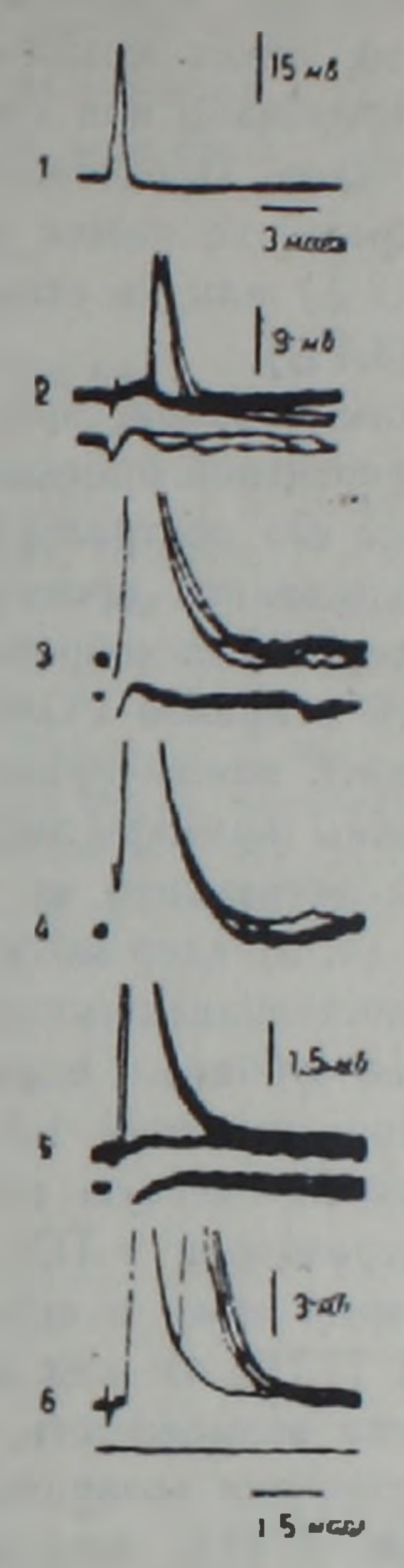


Рис. 3. Синаптическая активация нейронов медиального собственного ядра моста, вызванная раздражением структур мозжечка. Зарегистрированы активность двух нейронов (1-2 и 3-6), ВПСП и ортодромные ПД на раздражение зубчатого ядра мозжечка (1, 2), антидромный ПД на стимуляцию средней ножки мозжечка (3), ВПСП н ортодромные ПД на раздражение промежуточного ядра мозжечка (4, 5). одновременная антидромная и ортодромная активация PGM на стимуляцию зубчатого ядра мозжечка (б). Нижняя запись на 2. 3. 5, 6 потенциал поля после выхода микроэлектрода из клетки

только три нейрона PGM отвечали на раздражение фастигнального ядра мозжечка (скрыгый период ответа 0.5-0.8 мс) (рис. $2.\mathcal{A}$).

Было показано, что определенное число исследованных нейронов

могло быть антидромно активировано из разных структур мозжечка, что говорит о наличии коллатерального ветвления аксонов указанных нейронов (рис. 1,В). Так, 16,6% из всех 74 исследованных нейронов могло быть антидромно активировано при раздражении средней и верхней ножек мозжечка. 15,3% нейронов реагировали на раздражение обеих ножек мозжечка и его зубчатого ядра. 12,5% клеток было зарегистрировано при стимуляции обеих ножек мозжечка и его промежуточного ядра. Представляют большой интерес нейроны, реагирующие на раздражение ножек мозжечка и его зубчатого и промежуточного ядер (6,2%) или на стимуляцию всех пяти испытанных структур мозжечка (3,4%).

Тажим образом, представленный материал показал наличие мощной эфферентной проекции из PGM в структуры мозжечка, охватывающей все его центральные ядра. Одним из механизмов дивергентности исследованной проекции является коллатеральное ветвление аксонов эфферентных нейронов.

У .19 нейронов PGM раздражение центральных ядер мозжечка и его верхней ножки приводило к их синаптической активации. На рис. 3 показаны примеры двух нейронов (1, 2 и 3-6), реагирующих ортодромной активацией на раздражение зубчатого (1, 2, 6) и промежуточного (4, 5) ядер мозжечка. Скрытые периоды выявления возоуждающих постсинаптических потенциалов (ВПСП) составляли на раздражение зубчатого ядра мозжечка 1,8 мс (рис. 3, 2) и промежуточного ядра мозжечка 1,3 мс (рис. 3, 5). Это указывает на их моноили дисинаптическую активацию. При усилении раздражения ВПСП легко переходили в ПД. У части клеток обнаруживались сочетанная регистрация орто- и антидромных ПД (рис. 3, 6). Такие клетки составляли 73,7% из всех ортодромно активируемых нейронов PGM. Не исключена возможность, что указанная активация является результатом вовлечения возвратных коллатералей аксонов понто-мозжечковых нейронов. У 21% исследованных нейронов было показано наличие конвергенции афферентных входов из двух ядер мозжечка. Из них 15,8% ортодромно активировались на раздражение промежуточного и зубчатого ядер, а 5,2% на раздражение промежуточного и фастигиального ядер.

Приведенный материал показал наличие двусторонней связи между PGM и структурами мозжечка. На примере некоторых нейронов было обнаружено, что такая связь может быть ответственна за реверберацию возбуждения в пределах стволо-мозжечкового круга (2).

Институт физиологии им. Л. А. Орбели Академии наук Армянской ССР

Հ. Պ. ՔՈՍՈՅԱՆ, Ա. Հ. ԻԱՆՏԻԿՑԱՆ

Ուղեղիկ ուշվագծվող կամշջա-ուղեղիկային նեյշոնների էլեկտշաֆիզիոլոգիական վեշլուծությունը

Կատուների մոտ, սուր փորձի պայմաններում, Վարոլյան կամրջի միջային սեփական կորիզի նեյրոնների ակտիվությունը հետաղոտվել է միկրոէլեկտրոդային ներբջջային արտածման մեթոդով։ Հակընթաց պոտենցիալ-230

ЛИТЕРАТУРА — ԳГЦЧЦЪПЬРЗПЬЪ

¹ J. Bloedel, Progress in Neurobilogy, v. 2, 16-68 (1973). ² G. I. Allen, N. Tsukahara, Physiol. Rev., 54, 957-1006 (1974). ³ G. I. Allen, H. Korn, T. Oshima e. a., Exp. Brain Res., 24, 15-36 (1975). ⁴ G. I. Allen, T. Oshima, K. Toyama, Exp. Brain Res., 29, 123-137 (1977). ⁵ A. Brodal, J. Jansen, J. Comp. Neurol., 84, 31-118 (1946). ⁶ Y. H. Hoddevik, Brain Res., 95, 291-307 (1975). ⁷ Y. H. Hoddevik, Exp. Brain Res., 30, 511-526 (1977). ⁸ R. A. McCrea, G. A. Bishop, S. T. Kitai, Brain Res., 122, 215-228 (1977). ⁹ N. M. Gerrit, J. Voogd, Acta morph. neerl-scand., 19, 56-57 (1981). ¹⁰ E. Dietrich, J. Bjaalie, P. Brodal, Brain Res., 259, 127-131 (1983). ¹¹ K. Sasaki, S. Kawaguchi, T. Shimono e. a., Brain Res., 20, 425-428 (1970).

The state of the s

The state of the s

make the second second